

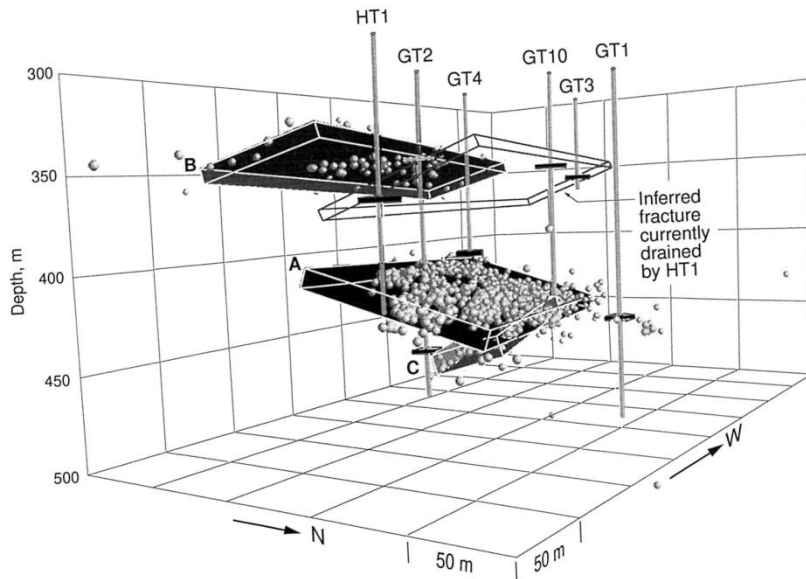
Problèmes inverses

L'approche stochastique

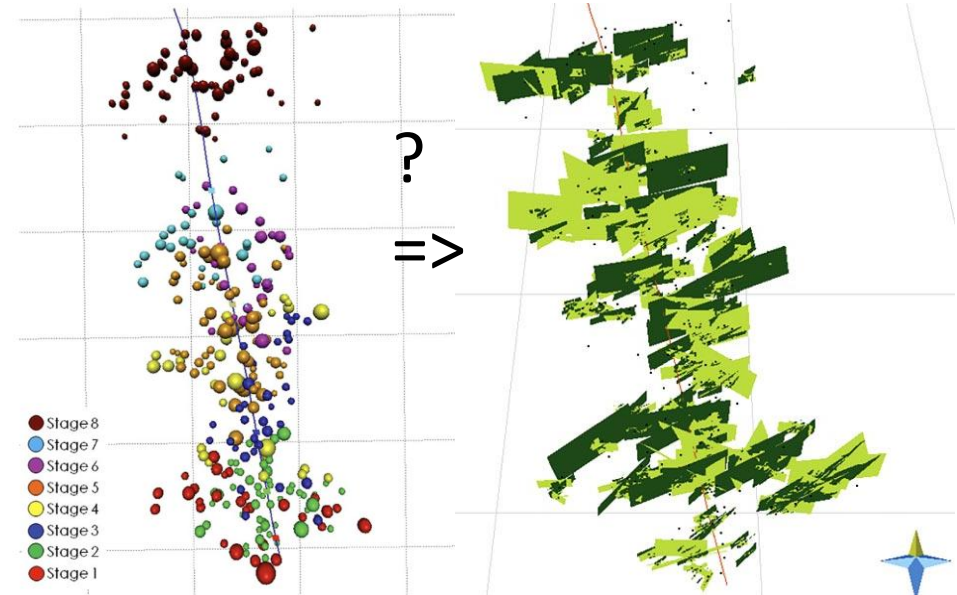
Quand le hasard aide la géophysique

J. Belhadj, A. Bottero, N. Desassis , A.Gesret, K. Luu, M. Noble et T. Romary,
Mines ParisTech / PSL Research University

- Contexte du monitoring microsismique



Rutledge et al., 98

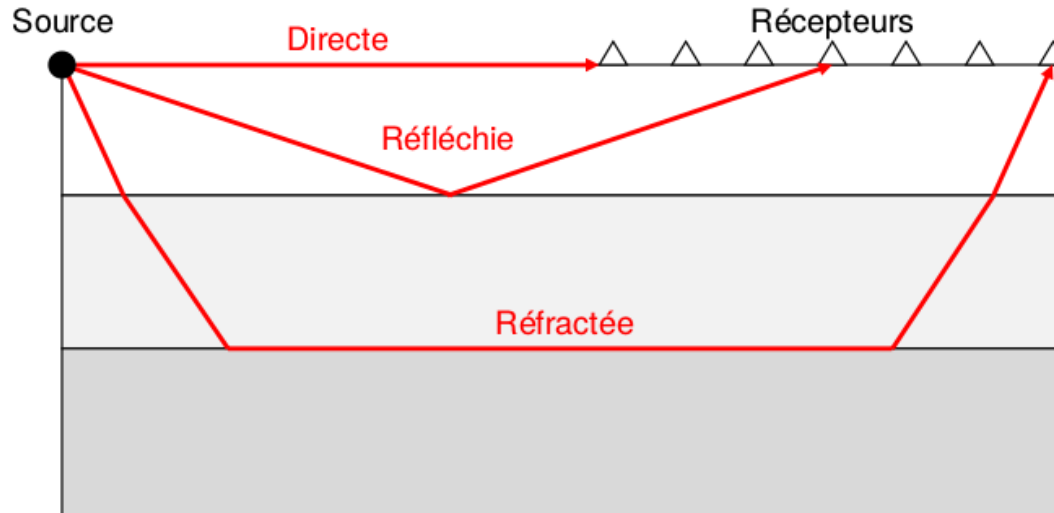


Williams-Stroud et al., 2013

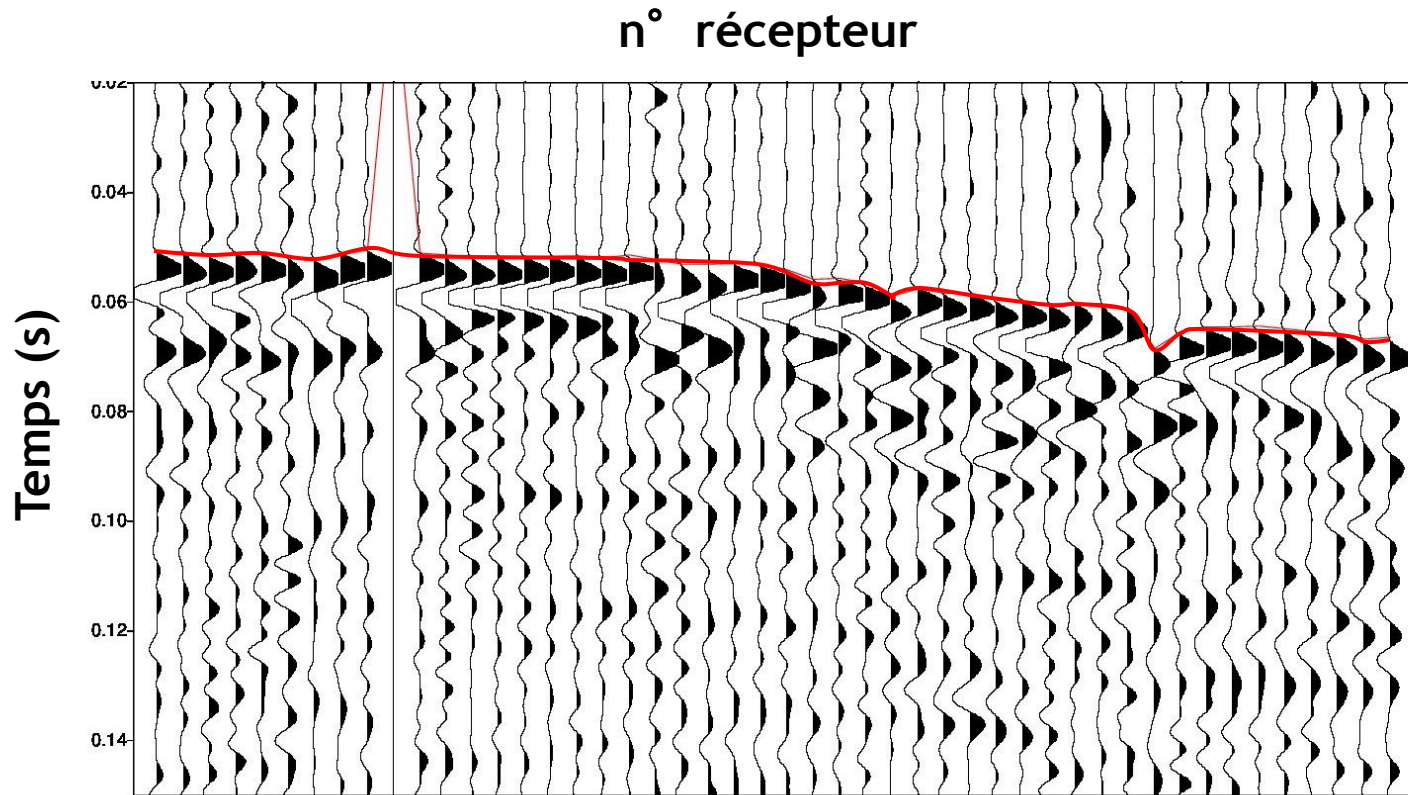
Plans de fractures définis par les clusters d'hypocentres ou erreurs de localisation?

- Erreurs de localisation majoritairement dues à l'imprécision du modèle de vitesse
- => Importance d'avoir un modèle de vitesse fiable avec les incertitudes associées

Acquisition sismique

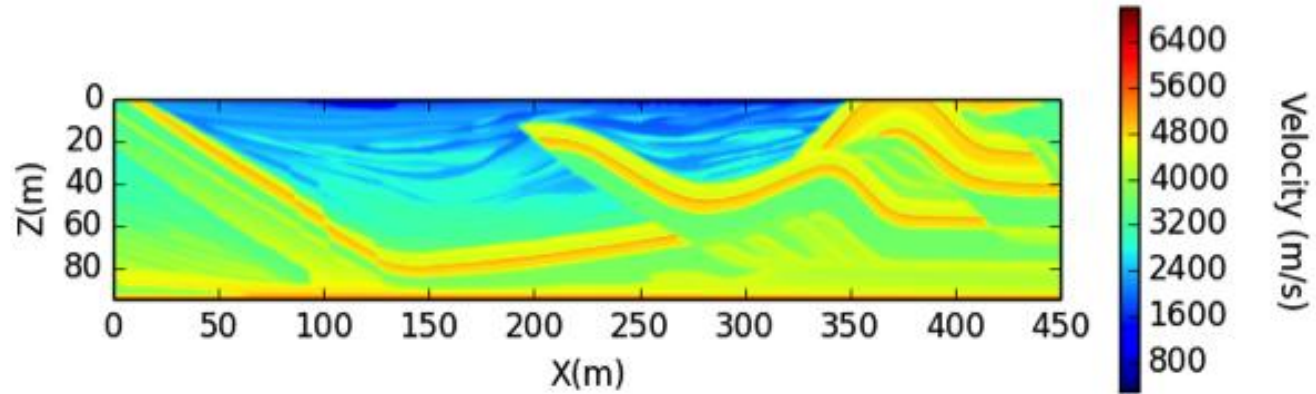


- Observations : Temps d'arrivée pointés



Tomographie sismique

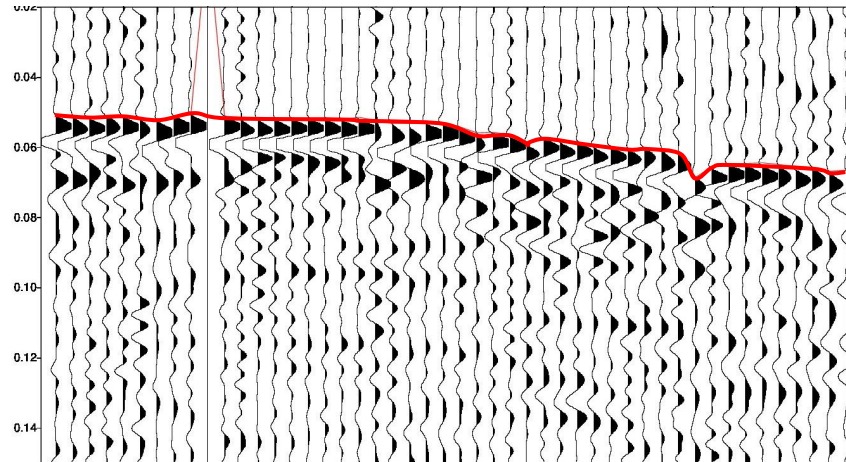
○ Problème inverse



Direct



Inverse

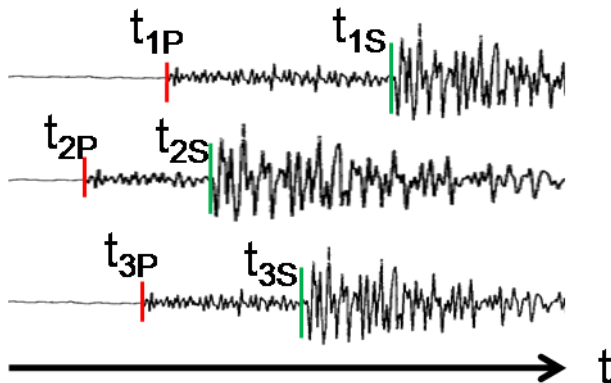


○ Problème inverse

- Problème d'optimisation numérique visant à minimiser une fonction coût qui mesure la qualité du modèle

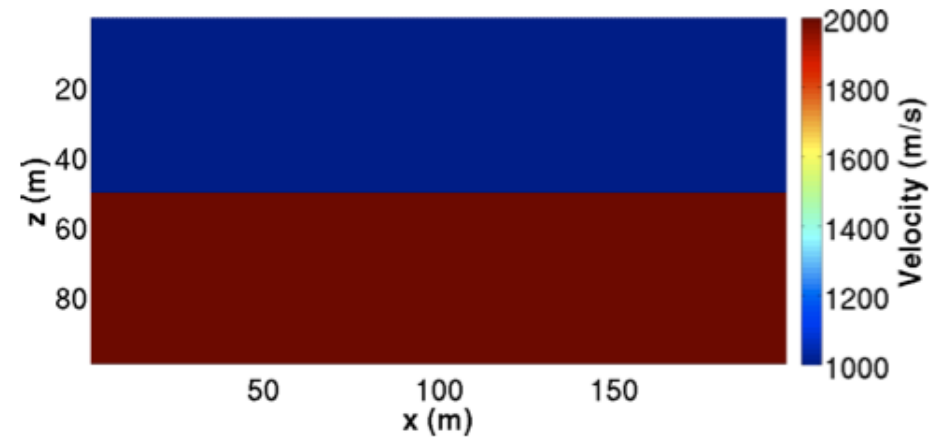
$$E(\mathbf{m}) = (\mathbf{G}(\mathbf{m}) - \mathbf{d}_{\text{obs}})^T \mathbf{C}_d (\mathbf{G}(\mathbf{m}) - \mathbf{d}_{\text{obs}})$$

- \mathbf{d}_{obs} : données observées (temps d'arrivée pointés)
- $\mathbf{G}(\mathbf{m})$: données synthétiques générées pour le modèle \mathbf{m} avec \mathbf{G} , l'opérateur du problème direct
- \mathbf{C}_d : matrice de covariance qui tient compte des erreurs de mesure

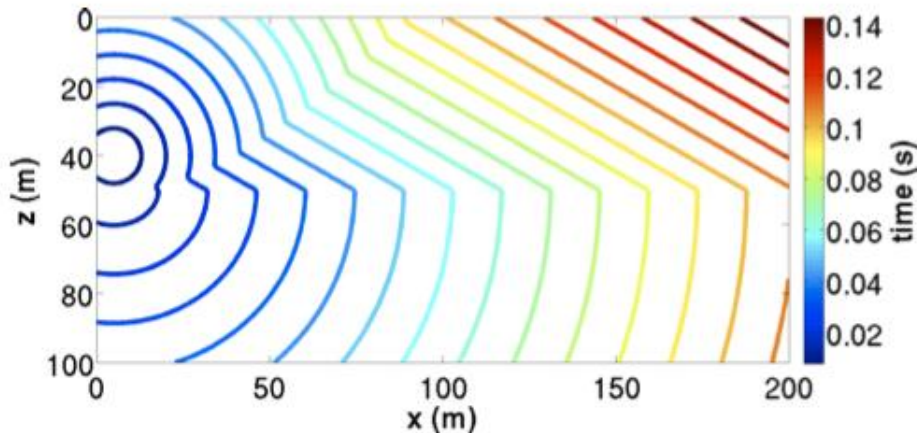


○ Problème direct

- Calcul des temps d'arrivée entre sources et récepteurs pour un ensemble de valeurs des paramètres du modèle.



$$\begin{pmatrix} t_{cal}^1 \\ t_{cal}^2 \\ \vdots \\ t_{cal}^N \end{pmatrix} = G \begin{pmatrix} V_p(1) \\ V_p(2) \\ z \end{pmatrix}$$



○ Problème inverse

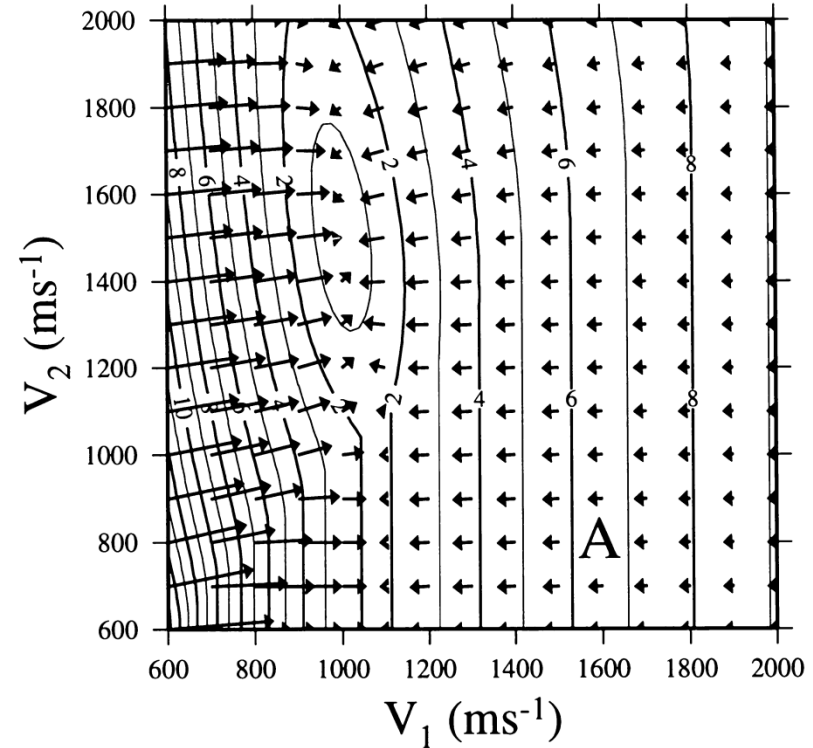
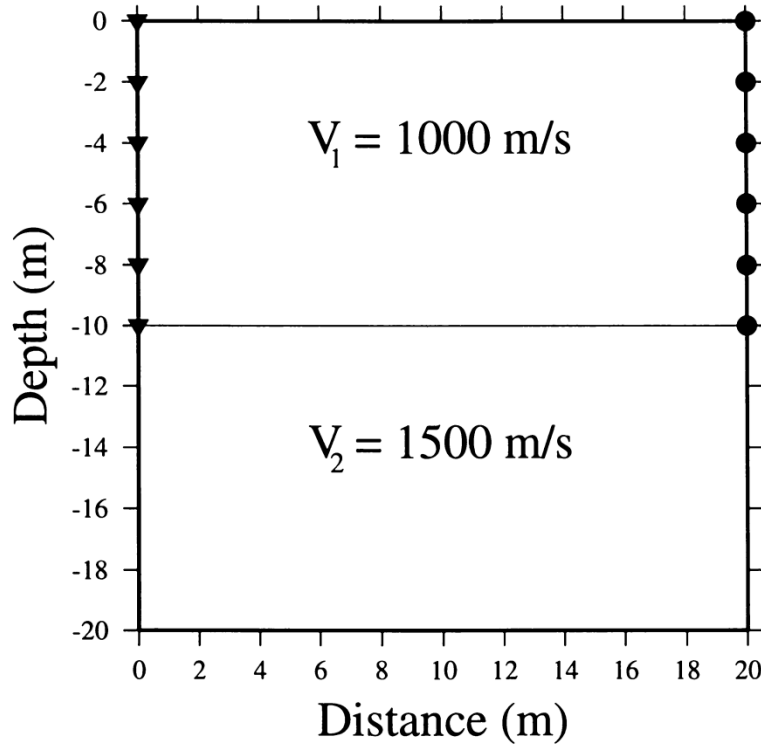
- Problème d'optimisation numérique visant à minimiser une fonction coût qui mesure la qualité du modèle

$$E(\mathbf{m}) = (\mathbf{G}(\mathbf{m}) - \mathbf{d}_{\text{obs}})^T \mathbf{C}_d (\mathbf{G}(\mathbf{m}) - \mathbf{d}_{\text{obs}})$$

- \mathbf{d}_{obs} : données observées (temps d'arrivée pointés)
 - $\mathbf{G}(\mathbf{m})$: données synthétiques générées pour le modèle \mathbf{m} avec \mathbf{G} , l'opérateur du problème direct
 - \mathbf{C}_d : matrice de covariance qui tient compte des erreurs de mesure
-
- Pour résoudre le problème inverse:
 - Techniques d'optimisation locale
 - Techniques d'optimisation globale

○ Inconvénients des méthodes d'optimisation locales

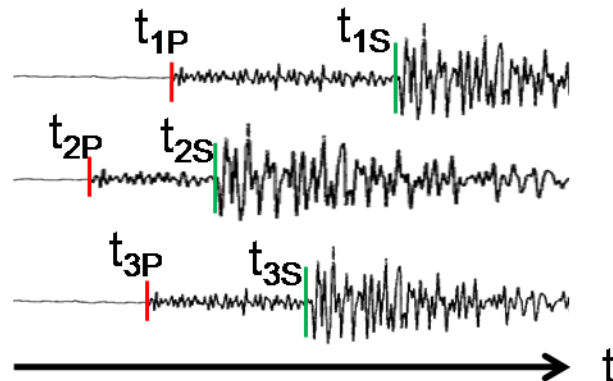
- Très dépendantes du modèle initial



D'après Wéber, 2000

- Ne permettent pas d'estimer les incertitudes de manière fiable

- Objectif: Tomographie des temps de trajet avec estimation des incertitudes
- La tomographie sismique est souvent un problème inverse mal posé
 - Requier d'utiliser toute l'information a priori disponible sur le modèle de vitesse
 - Requier de représenter correctement les incertitudes sur les données
- Approche probabiliste adaptée (e.g. Tarantola & Valette, 82) :
 - Toute les informations sont représentées par des distributions de probabilité
 - On cherche à estimer la fonction de densité de probabilité des modèles sachant les temps d'arrivée observés $P(\mathbf{m} | \mathbf{d}_{\text{obs}})$



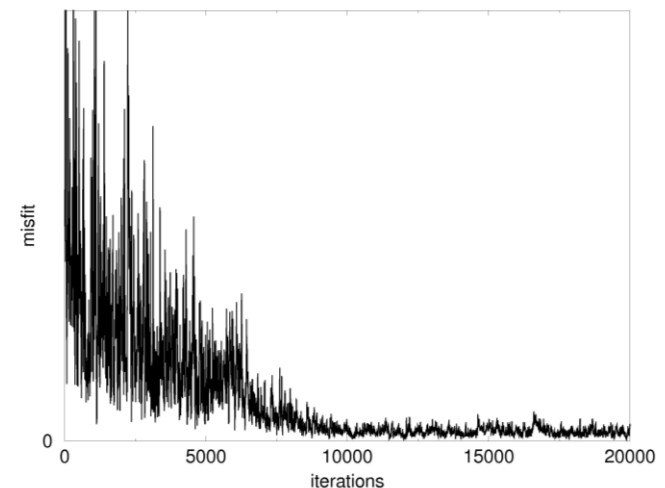
- Approche probabiliste adaptée : Distribution a posteriori consistante avec l'information a priori et les incertitudes sur les pointés

$$P(\mathbf{m} | \mathbf{d}_{\text{obs}}) \propto P(\mathbf{m}) \exp\left(-\frac{1}{2} \left\| \frac{G(\mathbf{m}) - \mathbf{d}_{\text{obs}}}{\sigma^d} \right\|^2\right)$$

- Estimation d'incertitudes : Echantillonnage de la distribution a posteriori avec un algorithme type Markov Chain Monte Carlo (MCMC) qui génère une chaîne aléatoire de modèles dont la distribution approxime $P(\mathbf{m} | \mathbf{d}_{\text{obs}})$

- => Requierit:

- Des algorithmes efficaces
- Des paramétrisations parcimonieuses

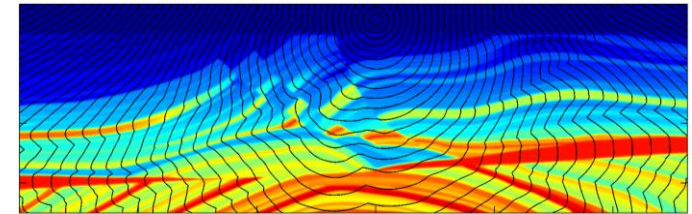


- Efficient and accurate Eikonal solver to compute first arrival traveltimes in complex 3D media

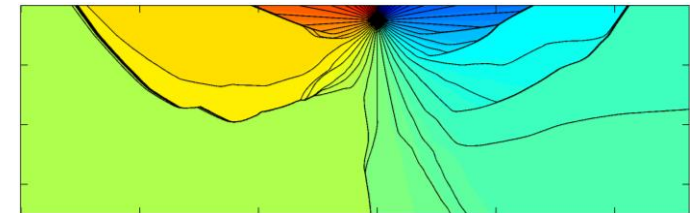
$$\left(\frac{\partial t}{\partial x}\right)^2 + \left(\frac{\partial t}{\partial y}\right)^2 + \left(\frac{\partial t}{\partial z}\right)^2 = s^2$$

- Spherical wave approximation close to the source
- Plane wave approximation far from the source

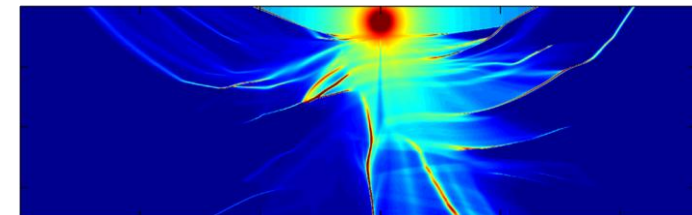
- Allows to compute auxiliary quantities such as take-off angles and amplitudes



Traveltimes



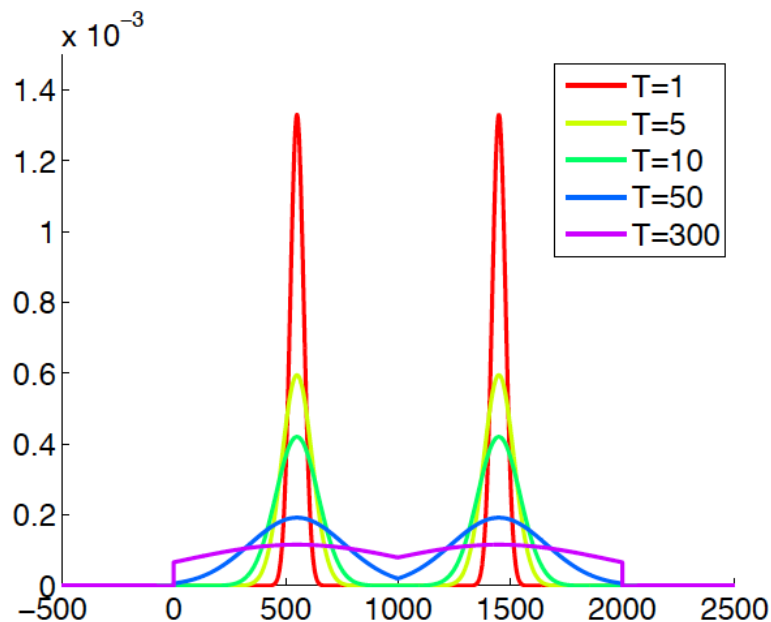
Take-off angles



Amplitudes

- Classical Monte-Carlo sampling of the tempered a posteriori distribution

$$P_T(m|d_{obs}) \propto \exp\left(-\frac{E(m)}{T}\right)$$



T decreases during the run. At T=1:

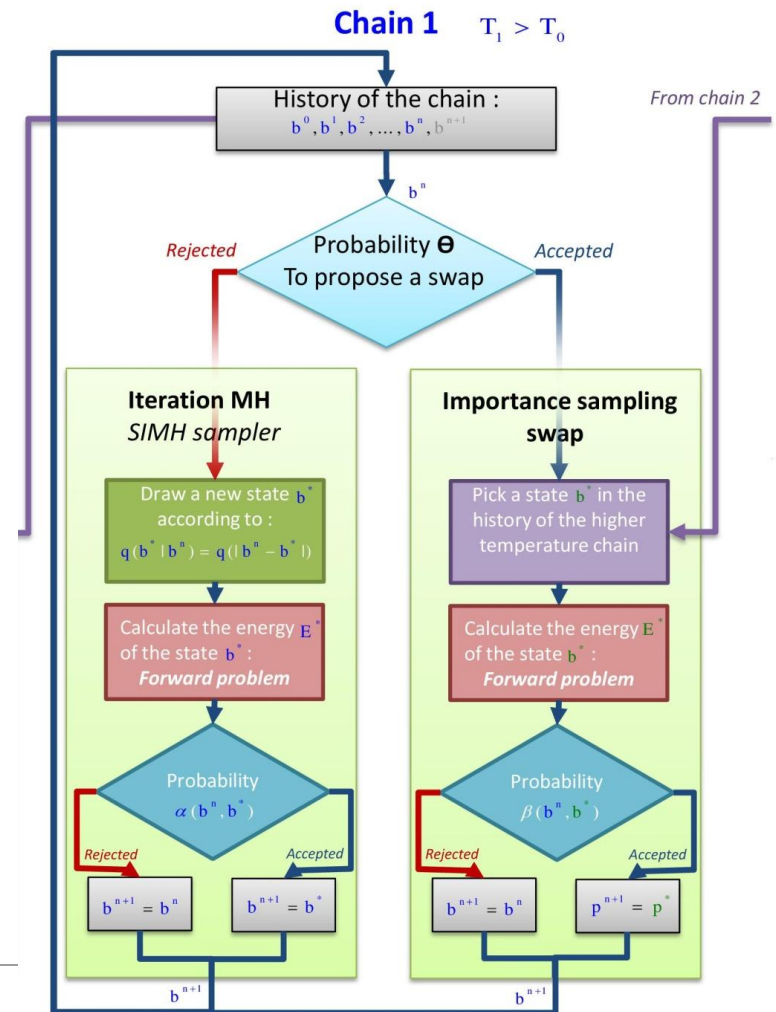
$$P_T(m|d_{obs}) = P(m|d_{obs})$$

- A single chain can fail to sample the whole distribution by getting trapped in one local mode.

- Allowing several Markov chains at different temperatures to interact in order to sample very efficiently the a posteriori distribution (Geyer, 91)

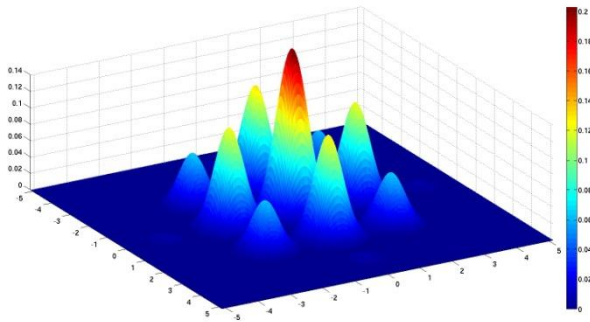
- **Parallel tempering:** exchanges between simultaneous states of chains at non adjacent temperatures

- **IR-MCMC:** Exchanges in the history of the chain at higher adjacent temperature
⇒ Improves mixing properties and efficiency (Romary 2010)

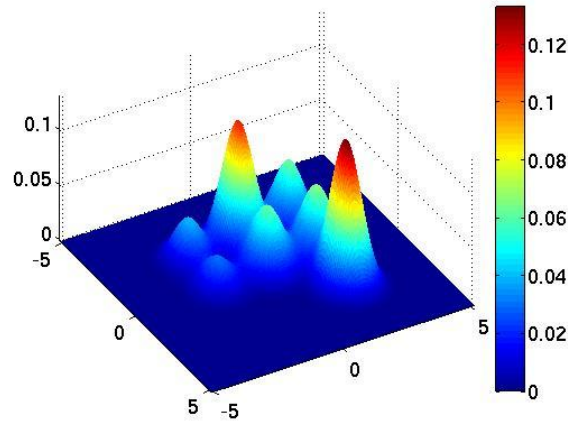


- Test on a highly multimodal distribution

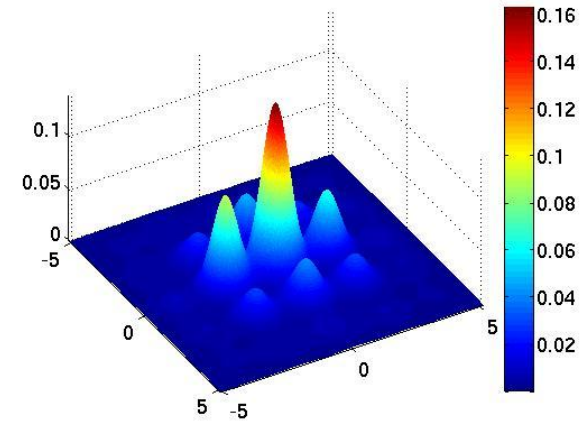
$$P(\mathbf{m} | \mathbf{d}_{\text{obs}})$$



Distribution by SA

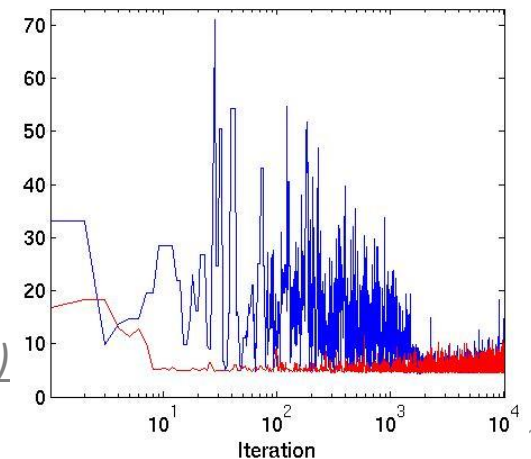


Distribution by IR-MCMC

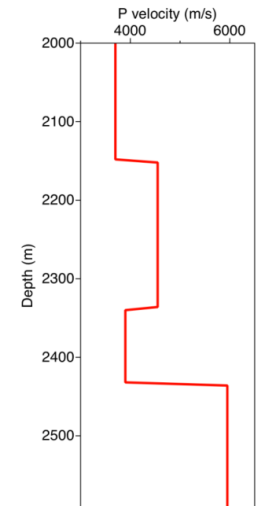
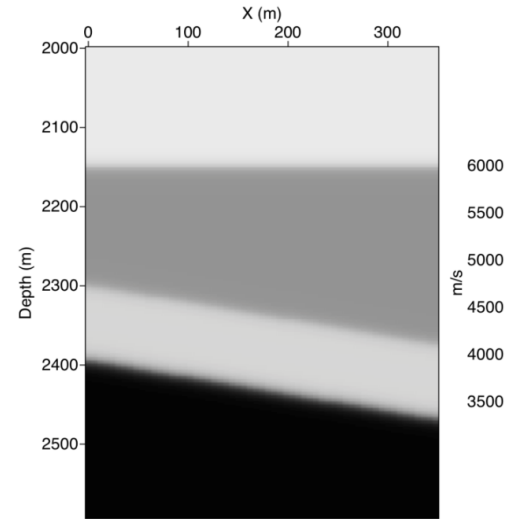
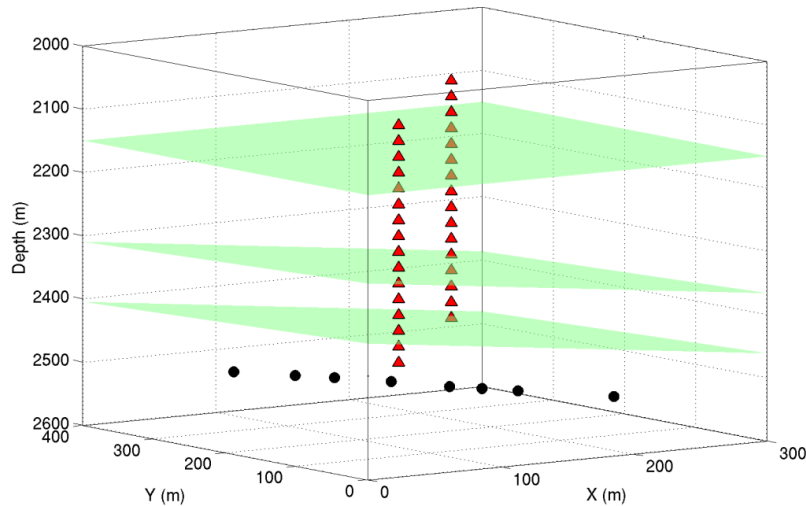


- IR-MCMC algorithm
 - All the modes are identified
 - Global mode identified as the principal one
 - Much more efficient

*Convergence for lower temperature chain (red)
and for Simulated Annealing (blue)/Log scale*



- Microseismic context



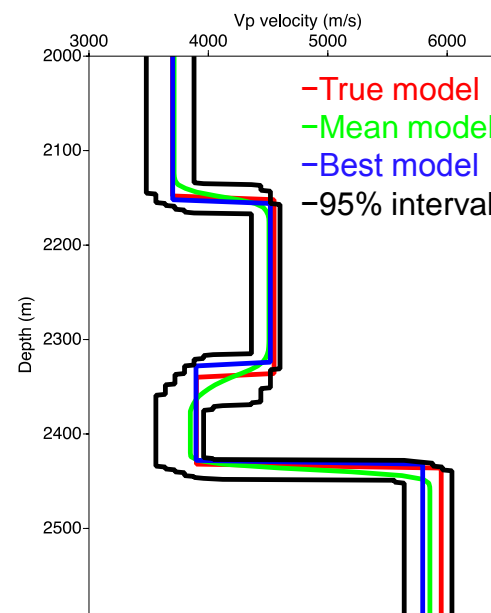
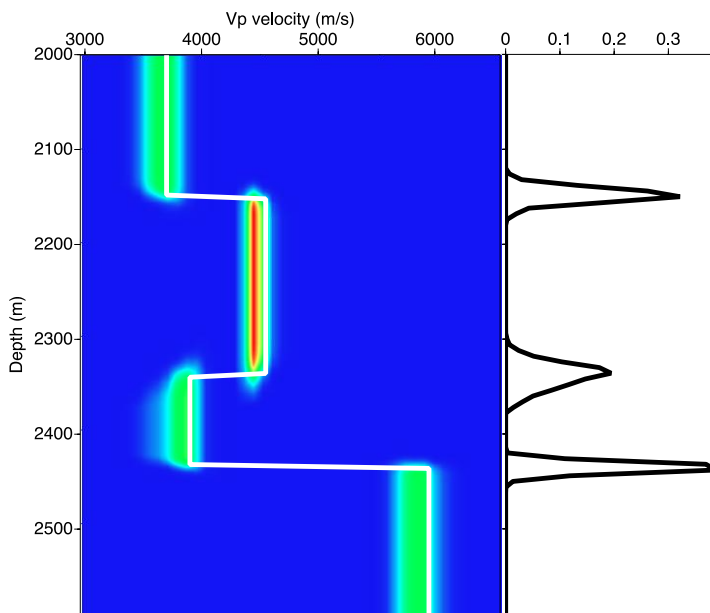
- ▲ receivers
- calibration shots

$$P(\mathbf{m} | \mathbf{t}_{\text{obs}}) \propto \exp \left(-\frac{1}{2} \sum_{j=1}^{n\text{shots}} \sum_{i=1}^{n\text{sensors}} \left(\frac{t_{\text{obs}}^{j,i} - t_{\text{cal}}^{j,i}(\mathbf{m})}{\sigma_{t_{\text{obs}}}^{j,i}} \right)^2 \right)$$

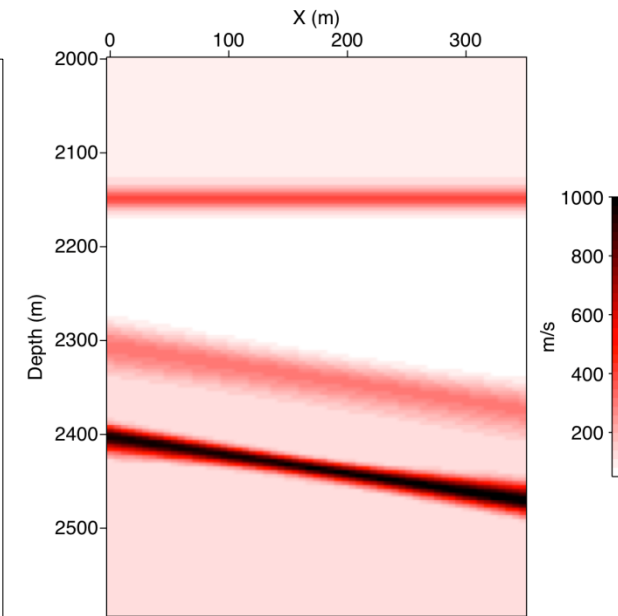
- 4 layer P and S velocity models (13 parameters)
- Traveltimes computed with an accurate Eikonal solver (Noble et. al., 2014)
- Gaussian noise added to the observed traveltimes

- Large number of models consistent with a priori information and data uncertainties

Posterior PDF for Vp and z



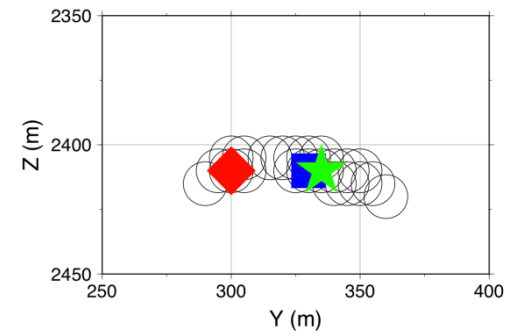
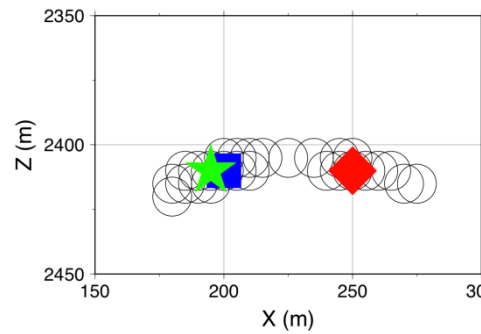
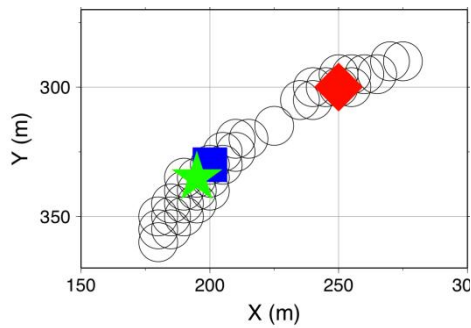
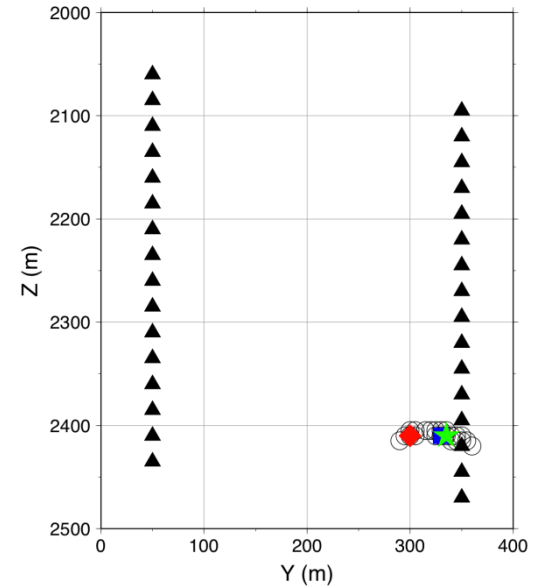
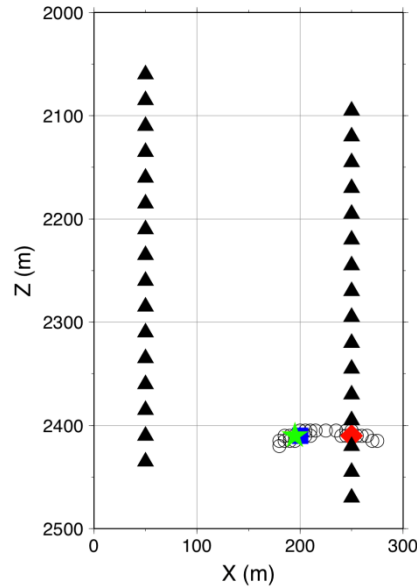
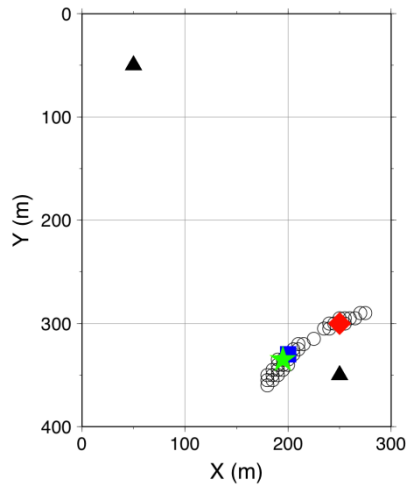
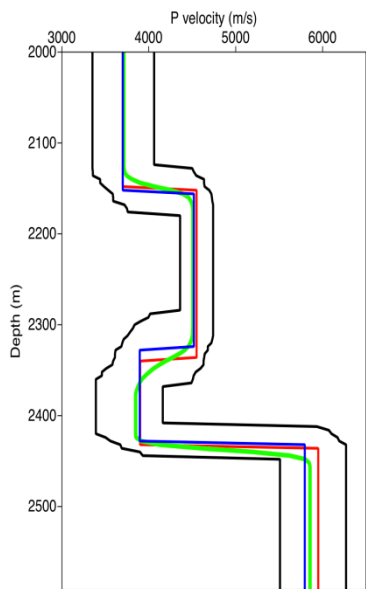
Standard deviation



- Similarity between the true and the mean model
- Identification of the well and poorly constrained regions
- True estimation of the uncertainties

Influence of velocity model on event location

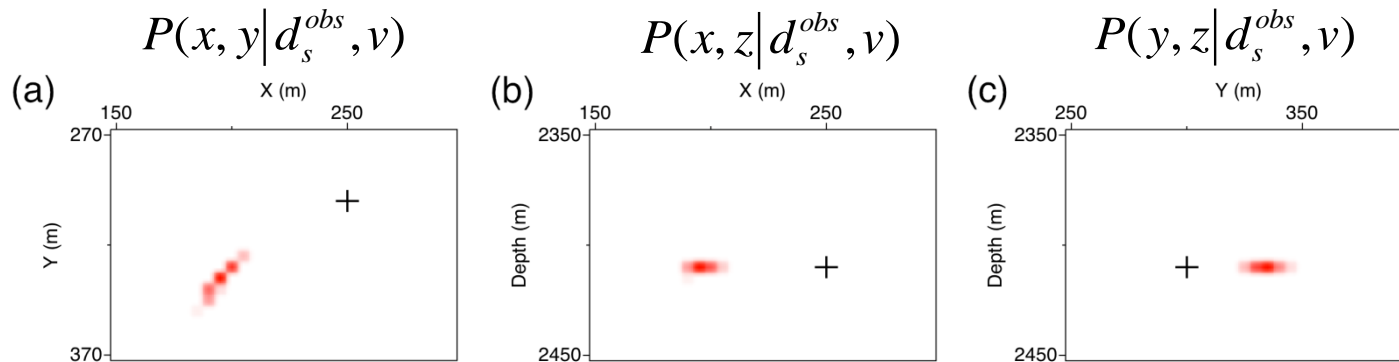
- ◆ True loc
- ★ Loc in the mean model
- Loc in the best model
- Loc in 100 acceptable models



- Standard probabilistic location

$$P(\mathbf{l} | \mathbf{d}_s^{\text{obs}}, \nu) \propto \exp \left(-\frac{1}{2} \sum_{i=1}^{nsensors} \left(\frac{d_s^{\text{obs},i} - d_s^{\text{cal},i}(\mathbf{l}, \nu)}{\sigma_s^i} \right)^2 \right)$$

68% confidence intervals built from the marginal pdfs



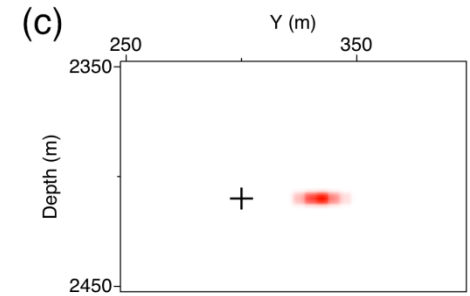
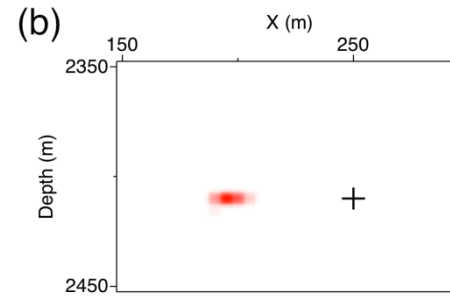
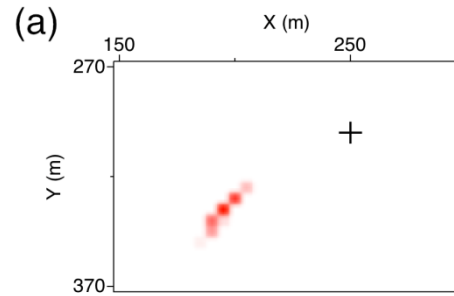
⇒ Only one velocity model!

- Propagation of velocity uncertainties to event location

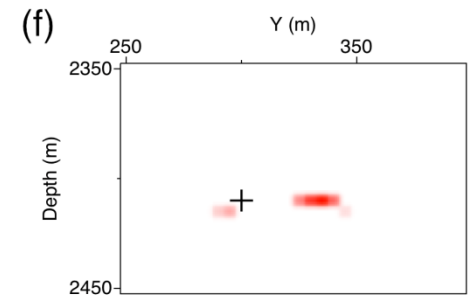
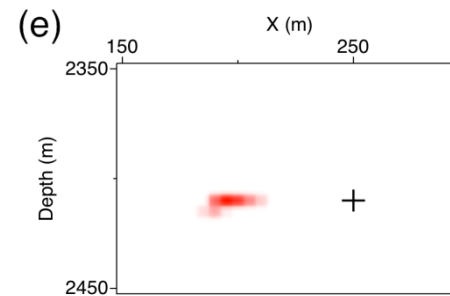
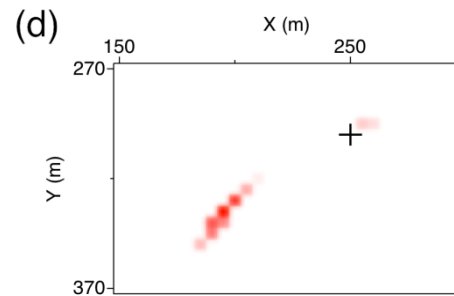
$$P(\mathbf{l} | \mathbf{d}_\nu, \mathbf{d}_s^{\text{obs}}) \propto \frac{1}{N} \sum_{j=1}^N \exp \left(-\frac{1}{2} \sum_{i=1}^{nsensors} \left(\frac{d_s^{\text{obs},i} - d_s^{\text{cal},i}(\mathbf{l}, \nu_j)}{\sigma_s^i} \right)^2 \right)$$

Standard formulation / New formulation

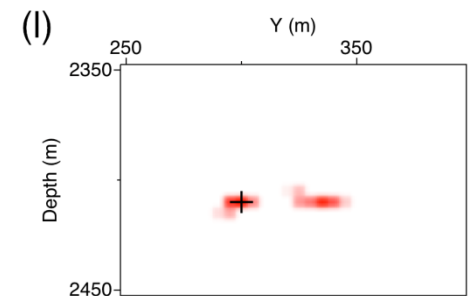
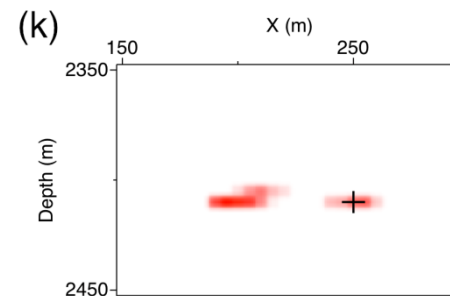
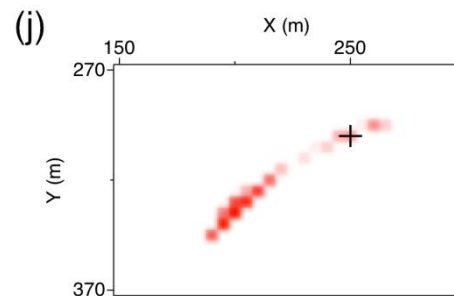
Location in the mean model



Location in the best model

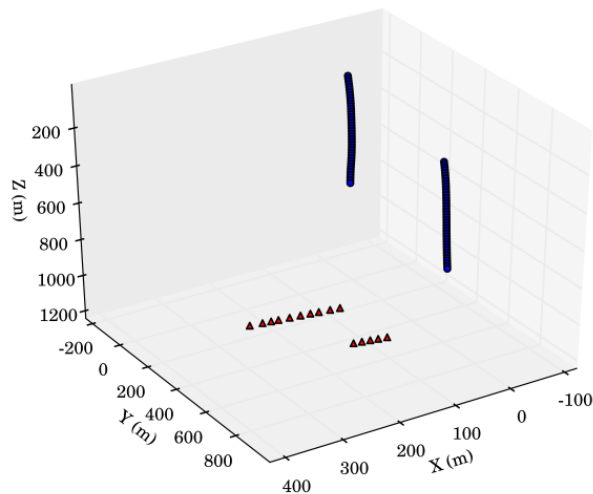


New PDF



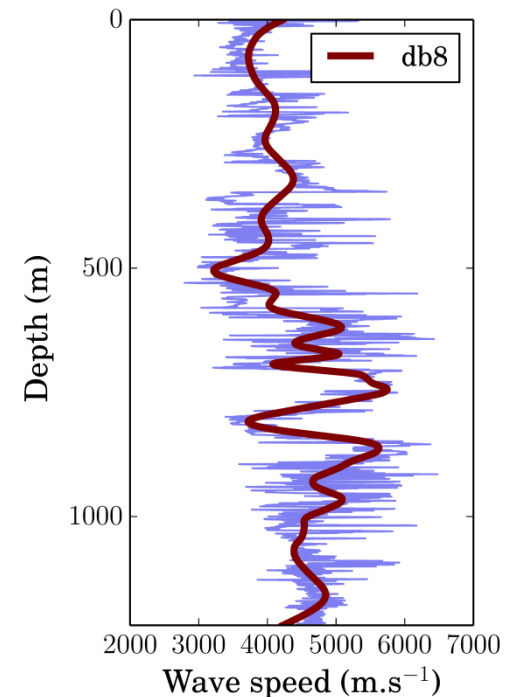
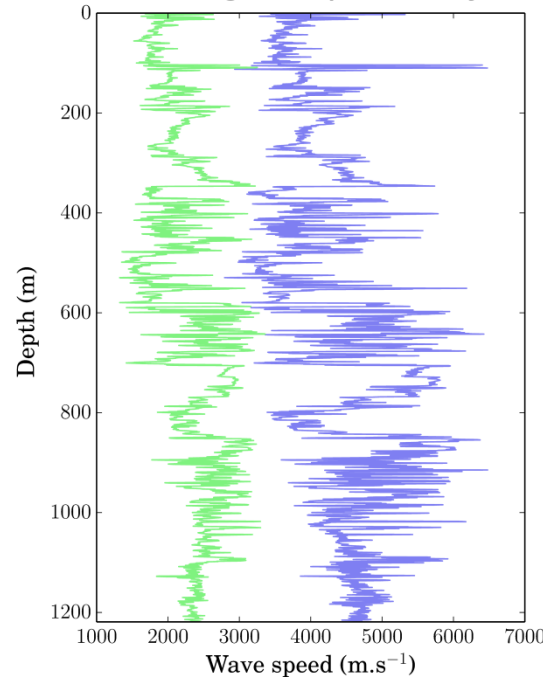
- Parameterization based on wavelet decomposition

Acquisition geometry



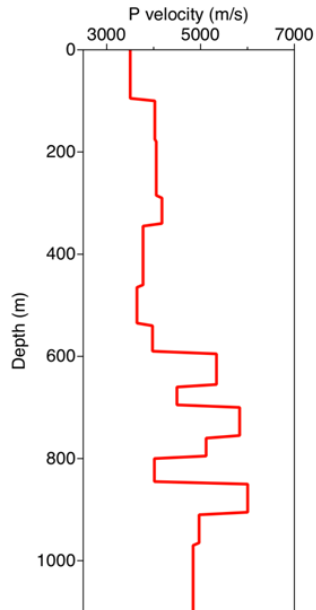
- ▲ calibration shots
- receivers

Sonic logs : a priori information

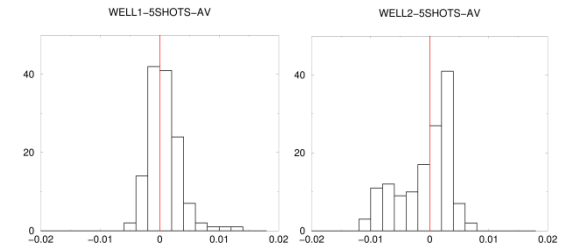
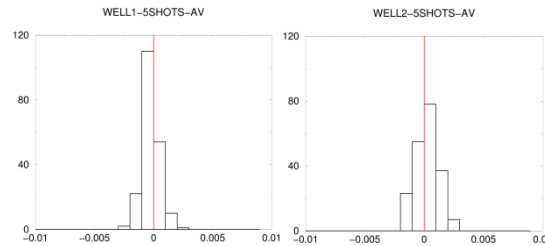
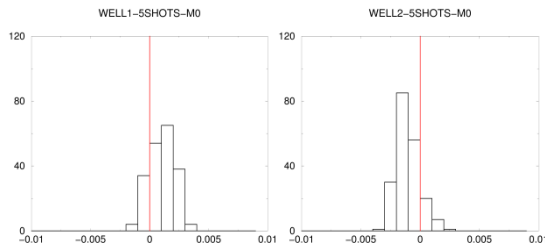
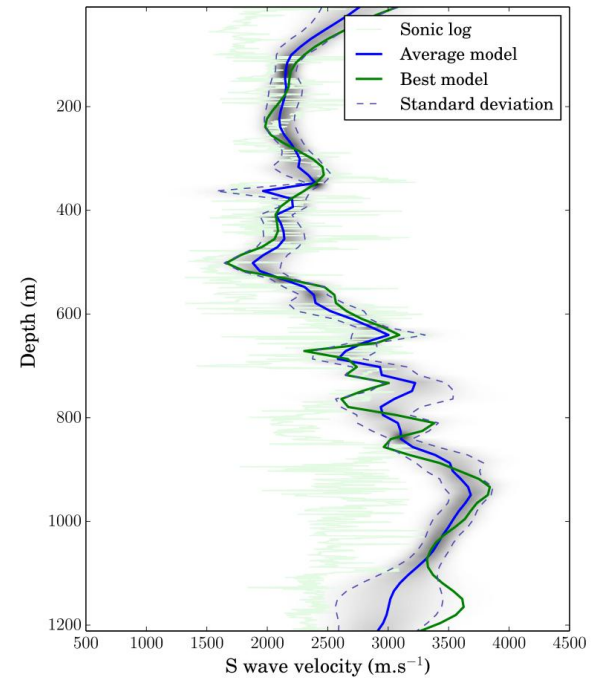
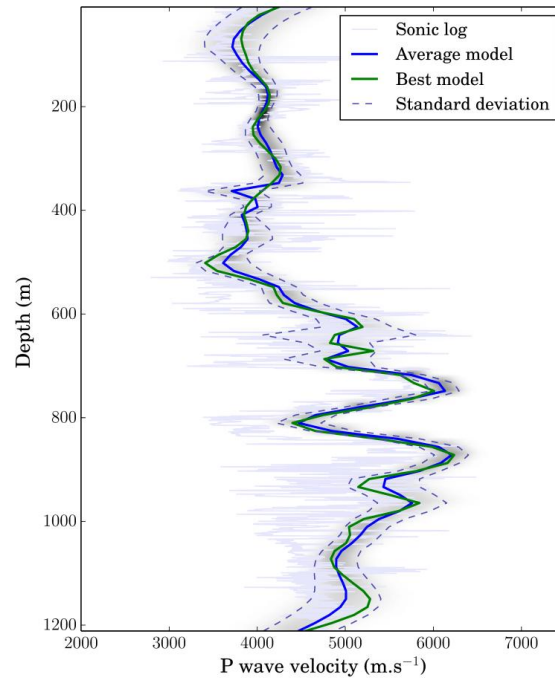


- Sonic logs decomposed into a basis of wavelet functions $V(x_j) = \sum_{i=1}^N b_i \psi_i(x_j)$
- Complex models described by a small number of coefficients b_i used as parameters of the inversion

Reference model

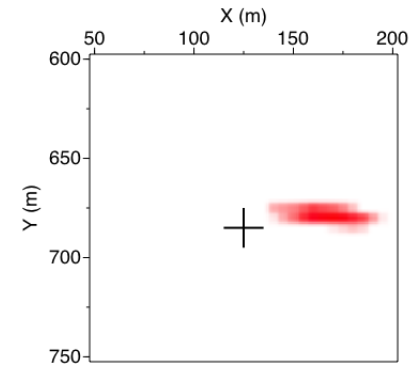
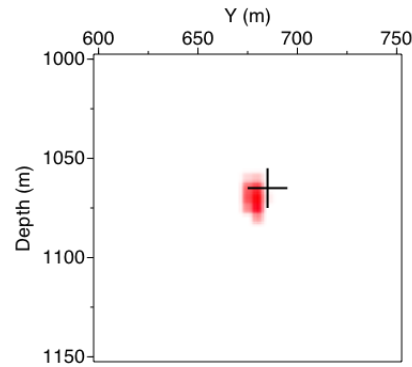
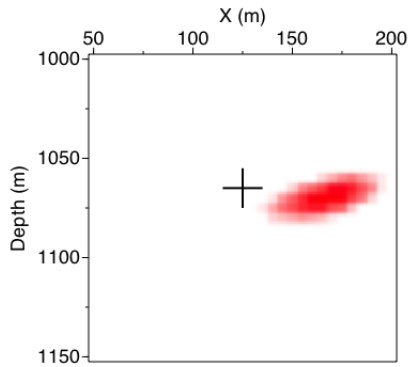


Stochastic tomography results

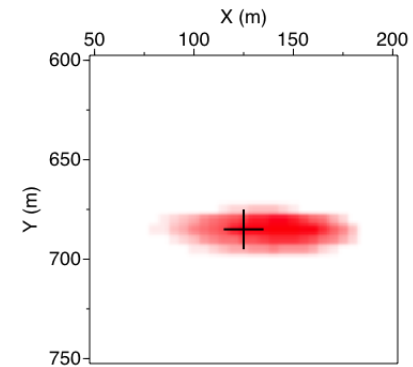
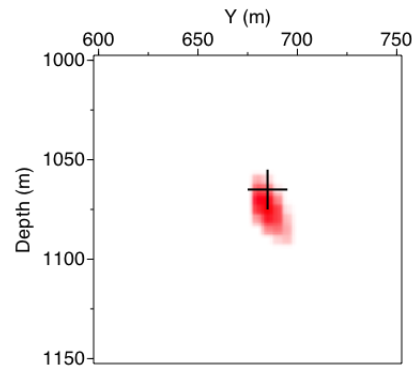
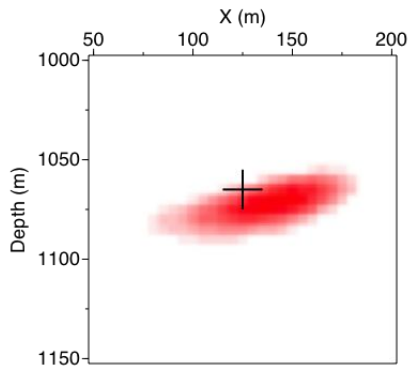


oRelocation of one calibration shot

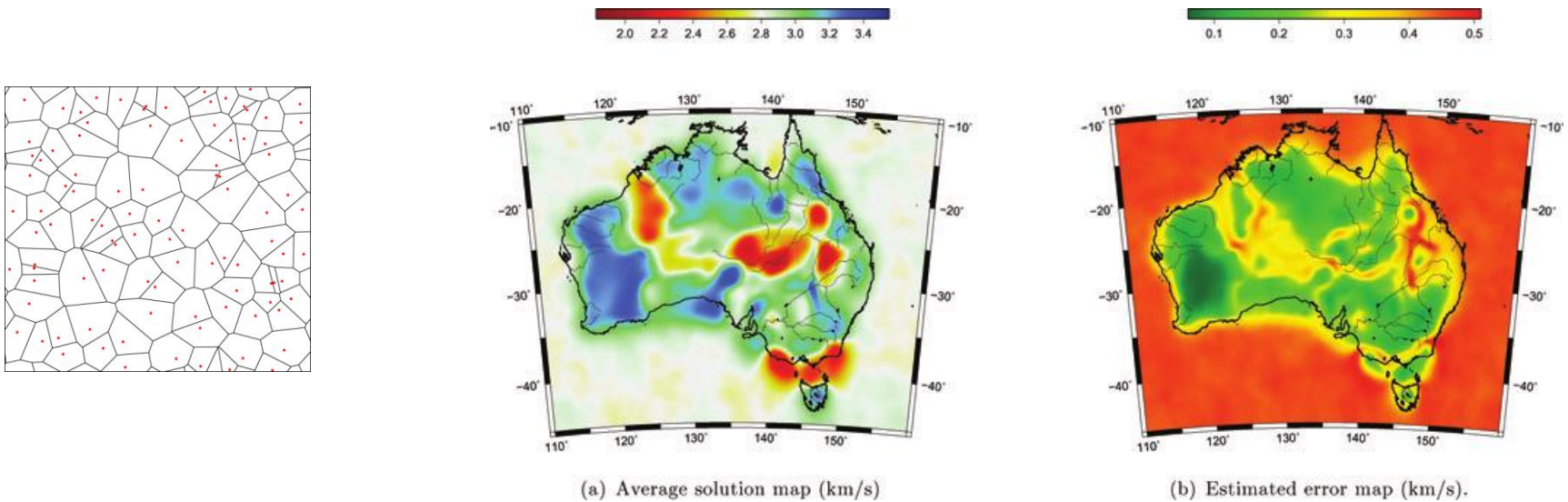
Standard PDF for the reference velocity model



New PDF accounting for the velocity model uncertainties

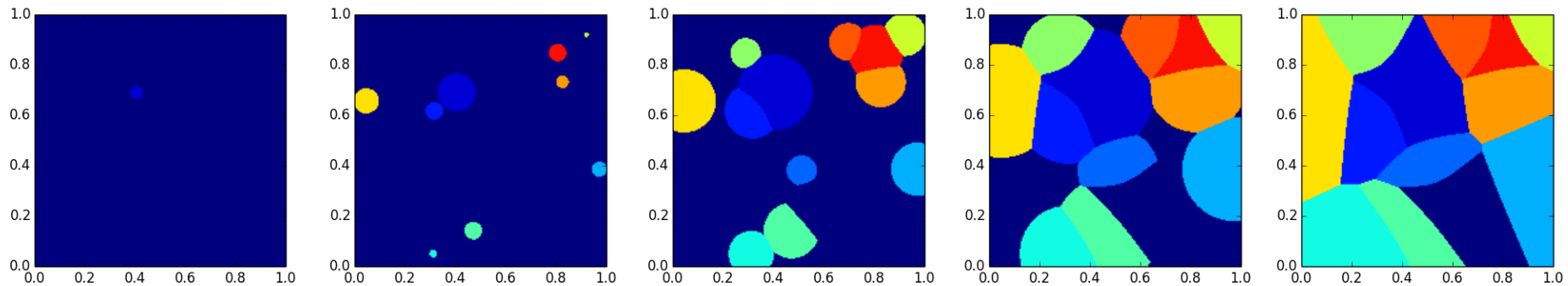


- Number of model parameters = unknown of the inversion
- rj-MCMC algorithm (Green, 1995) : generalization of classical MH algorithm that allows simulation of the unknown space dimension
- Most common tessellation : Voronoi tessellation



Ambient noise tomography (From Bodin & Sambridge, 2009)

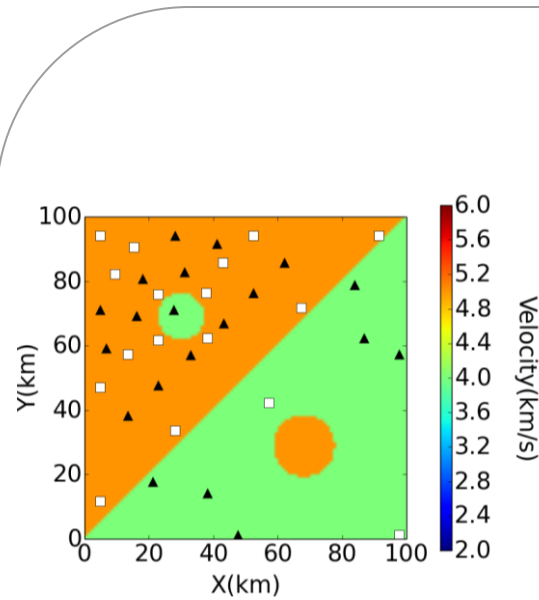
- Generalization of the Voronoi tessellation where the nuclei are increased additively with time
- All cells grow then isotropically with a constant speed around their nuclei. The growth of cell boundaries is stopped when they meet.



- Unlike Voronoi tessellation, Johnson-Mehl tessellation contains cells that have not necessarily flat sides.
- Model parameters: $\mathbf{m}=(U,v,t,n)$
- rj-MCMC algorithm

Johnson Mehl tessellation

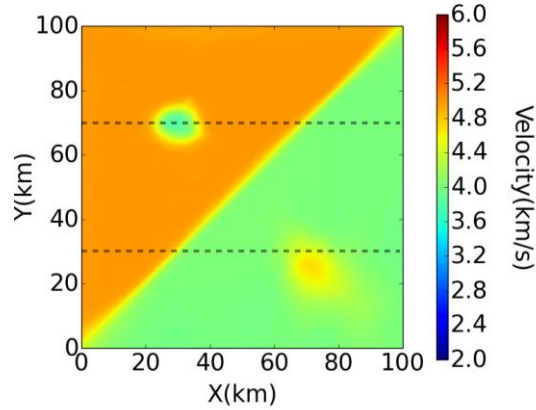
o Simple synthetic model (Bodin et. al., 2009)



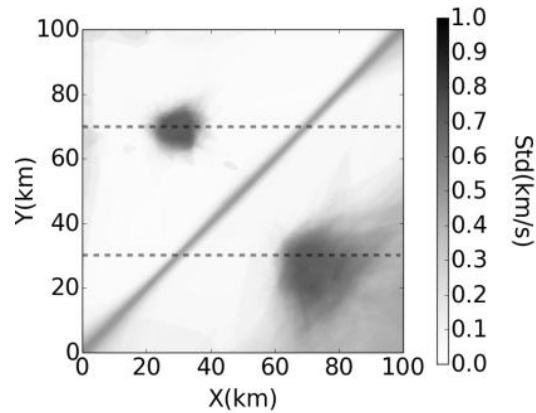
True model

17 sources
20 receivers

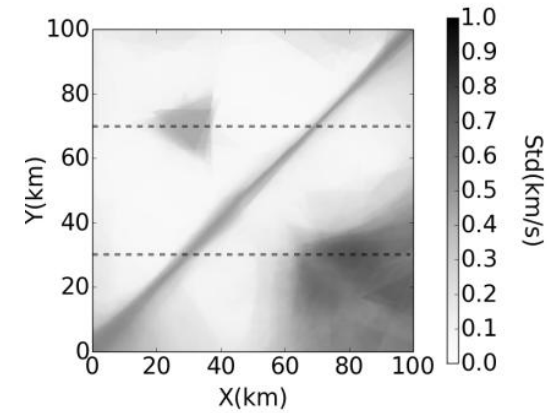
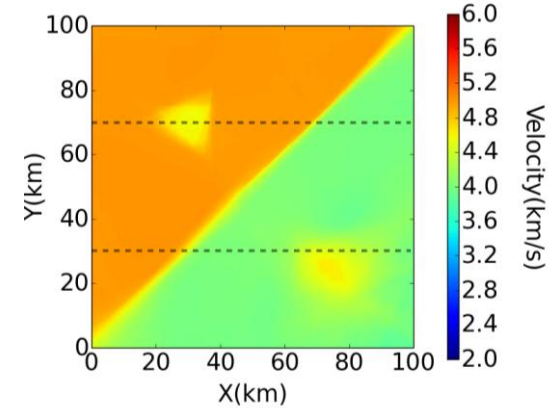
Posterior mean



Standard deviation



Johnson Mehl



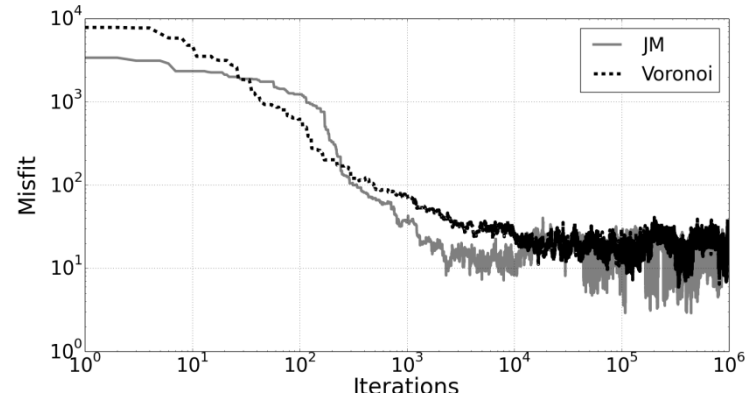
Voronoi

- Better results with JM tessellation

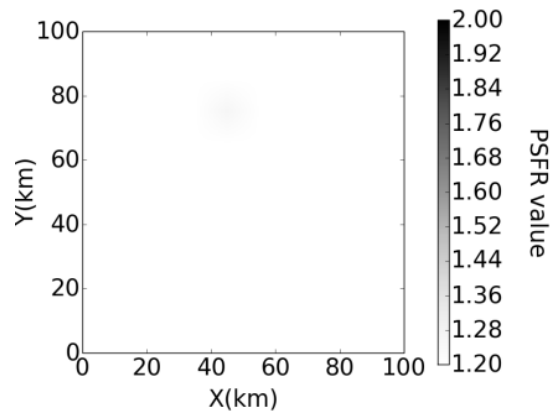
Johnson Mehl tessellation

o Simple synthetic model (Bodin et. al., 2009)

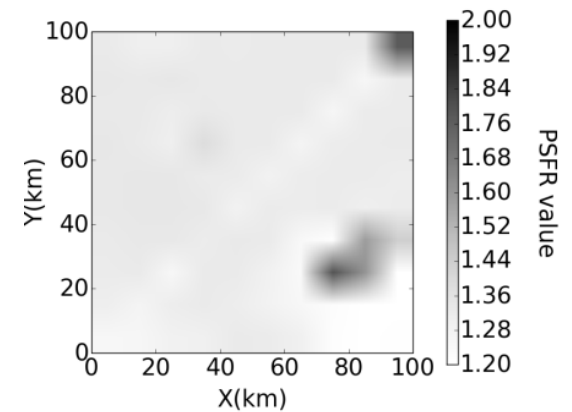
Evolution of the misfit



Gelman-Rubin diagnostic



Johnson Mehl



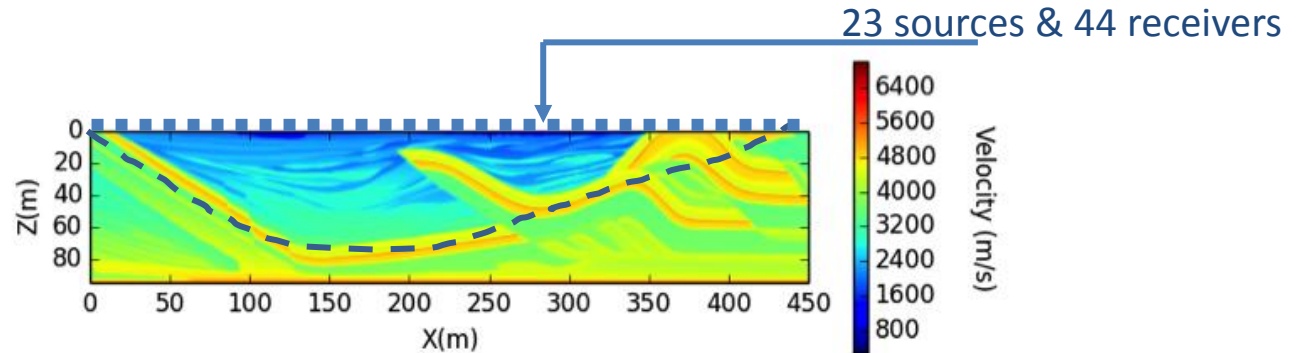
Voronoi

- Improvement of efficiency

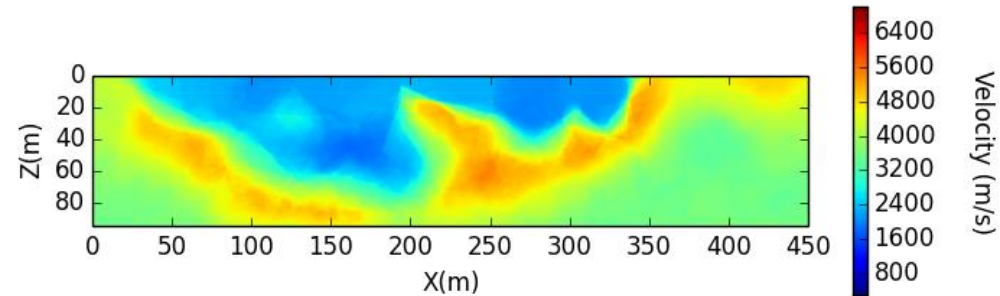
Johnson Mehl tessellation

o Benchmark model developed at Amoco Tulsa Research Lab

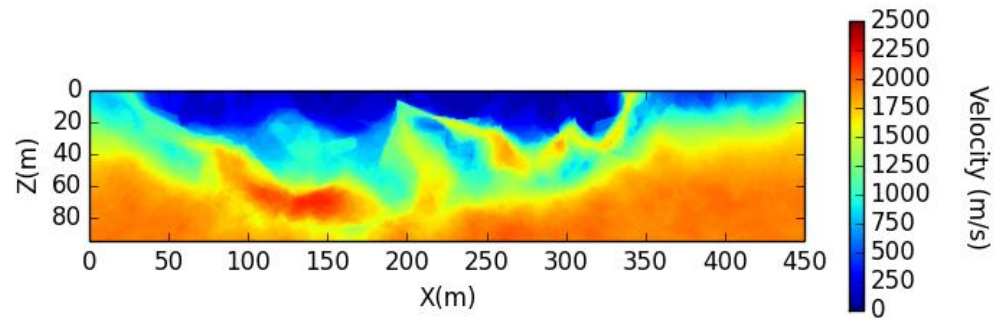
True model



Posterior mean value

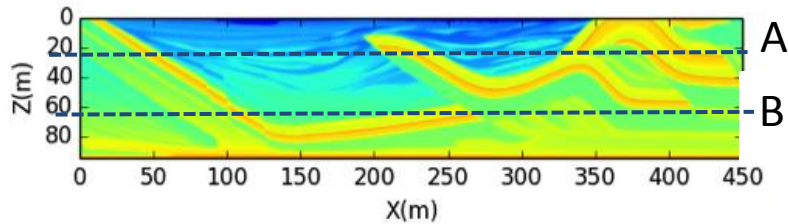


Standard deviation

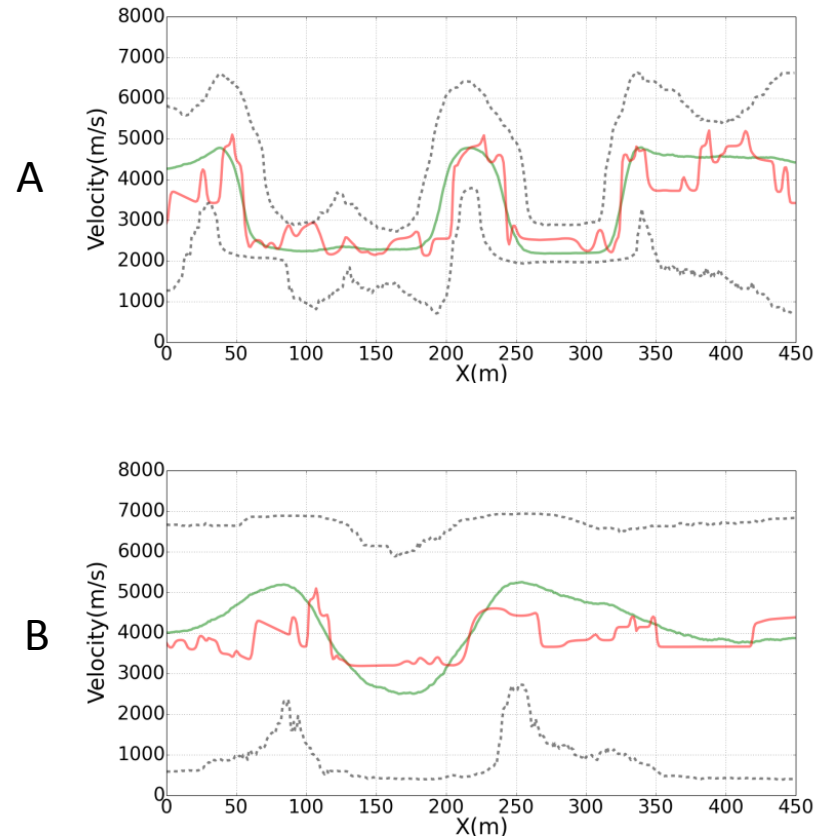


Johnson Mehl tessellation

o Benchmark model developed at Amoco Tulsa Research Lab



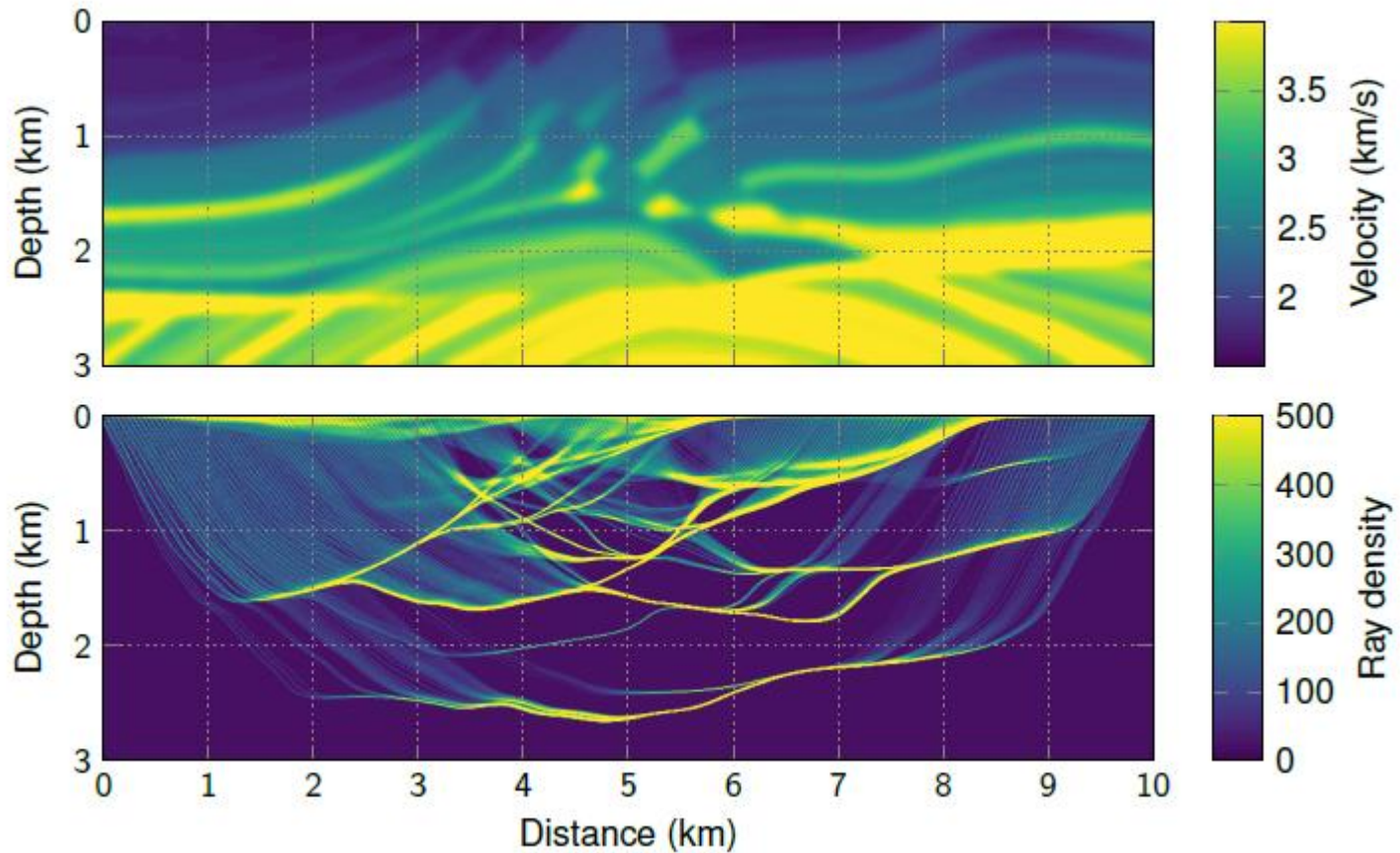
- True model
- Posterior mean model
- 95% confidence interval



Competitive Particle Swarm Optimization

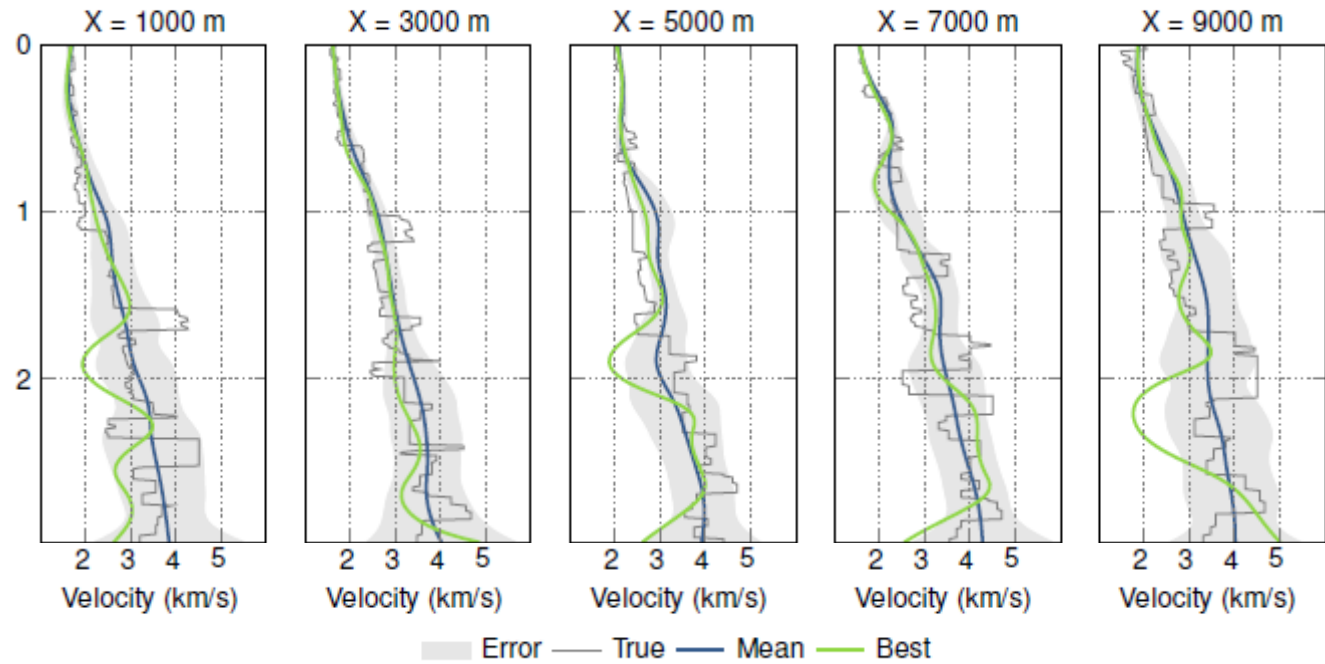
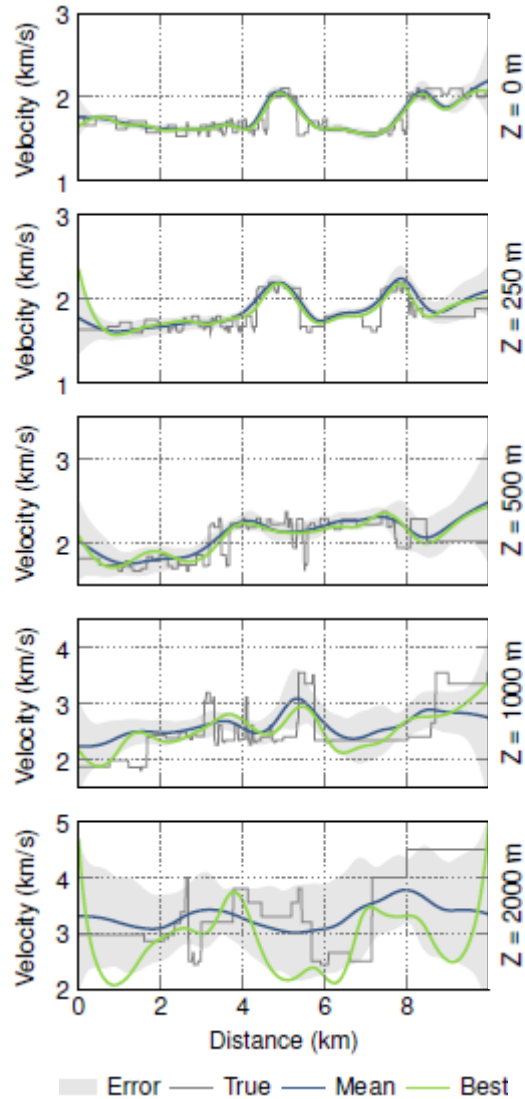
○ Marmousi velocity model

200 sources
400 receivers



Competitive Particle Swarm Optimization

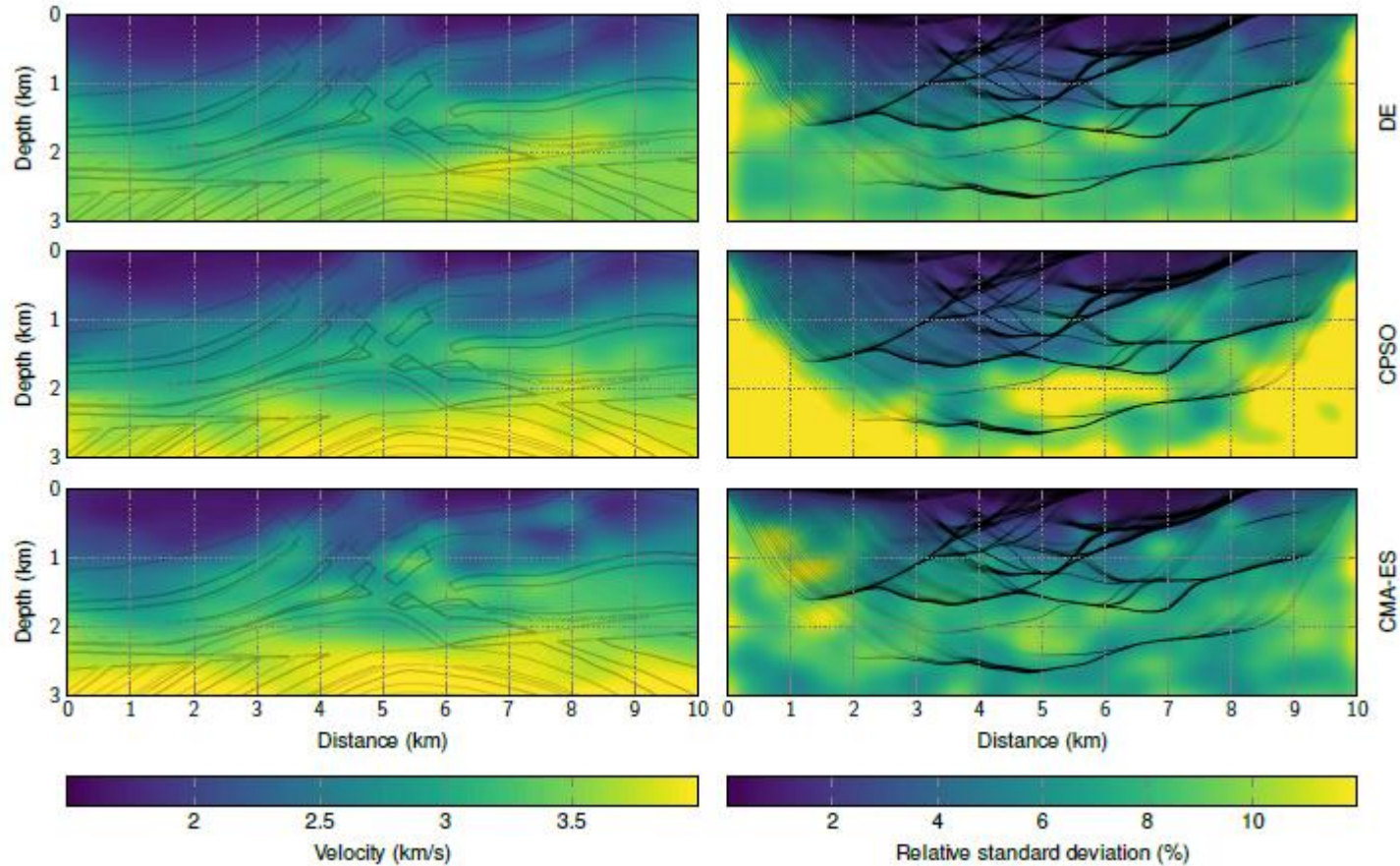
○ Results



- Only 3 hours of computation time for 300 parameters

Competitive Particle Swarm Optimization

- Comparison of 3 evolutionary algorithms



- Uncertainties consistent with ray coverage for CPSO

- Perspectives
 - Extension à 3D
 - Paramétrisation : représentation réaliste du modèle de vitesse
 - Prise en compte d'autres attributs de l'onde => Surrogate?